

## بررسی تاثیر نرخ بارگذاری آزمایش خمش نیم‌دایره‌ای بر پارامترهای مختلف مکانیک شکست مخلوط‌های آسفالتی در دمای متوسط

### مقاله علمی - پژوهشی

افشار یوسفی عباسعلیلو<sup>\*</sup>، دانش‌آموخته کارشناسی ارشد، دانشکده مهندسی عمران، دانشگاه علم و صنعت ایران، تهران، ایران

عطاء نوروزی، دانش‌آموخته کارشناسی ارشد، دانشکده مهندسی عمران، دانشگاه علم و صنعت ایران، تهران، ایران

یاشار یوسفی عباسعلیلو، دانش‌آموخته کارشناسی، دانشکده مهندسی عمران، دانشگاه پیام‌نور، اردبیل، ایران

سعید صبحی، دانش‌آموخته کارشناسی ارشد، دانشکده مهندسی عمران، دانشگاه صنعتی نوشیروانی بابل، ایران

<sup>\*</sup>پست الکترونیکی نویسنده مسئول: afshar\_yusefi@civileng.iust.ac.ir

دریافت: ۱۴۰۰/۰۵/۲۳ - پذیرش: ۱۴۰۰/۱۱/۰۵

صفحه ۱۷۶-۱۶۳

### چکیده

ترک خوردگی روسازی آسفالتی یکی از رایج‌ترین خرابی‌های روسازی است که می‌تواند ناشی از خستگی و پیر شدن مخلوط‌های آسفالتی تحت شرایط محیطی و بار ترافیکی بوده و باعث ایجاد خرابی‌های دیگر در روسازی‌های آسفالتی گردد. به همین علت بررسی رفتار شکست و ارزیابی دقیق پارامترهای مکانیک شکست مخلوط‌های آسفالتی و پارامترهای موثر بر آن، می‌تواند مهندسان روسازی را در امر طراحی و احداث روسازی با کیفیت کمک نماید. در این تحقیق از نمونه‌های خمش نیم دایره‌ای<sup>۱</sup> (SCB) به منظور ارزیابی تاثیر نرخ بارگذاری آزمایش بر پارامترهای مختلف مکانیک شکست مخلوط‌های آسفالتی در دمای متوسط ۲۵ سانتی‌گراد استفاده شده است. هدف اصلی از این تحقیق، تعیین مناسبترین نرخ بارگذاری برای آزمایش SCB در دمای متوسط، با در نظر گرفتن ضریب تغییرات آزمایش و با نمونه‌هایی به مشخصات هندسی قطر و ضخامت، ۱۵ و ۳ سانتی‌متر و طول ترک برابر با ۱۸ میلی‌متر می‌باشد. بدین منظور نمونه‌های SCB تحت نرخ‌های بارگذاری ۰/۵، ۱، ۵، ۲۰ و ۵۰ میلی‌متر بر دلیل قرار گرفته و پارامترهای حد اکثر بار<sup>۲</sup> برای ترک خوردگی نمونه‌های آسفالتی (PL)، انرژی شکست<sup>۳</sup> نمونه‌های آسفالتی (FE)، شاخص انعطاف‌پذیری<sup>۴</sup> (FI) و نشانه‌ی مقاومت در برابر ترک خوردگی (CRI)<sup>۵</sup> مورد ارزیابی قرار گرفت. نتایج نشان داد که با افزایش نرخ بارگذاری همواره مقدار PL و FE برای گسیختگی مخلوط آسفالتی افزایش می‌یابد، ولی FI و CRI با افزایش نرخ بارگذاری روال مشخص ندارند. بر اساس نتایج آزمایش‌ها و ارزیابی ضریب تغییرات<sup>۶</sup> (COV) پارامترهای ذکر شده، نرخ بارگذاری ۳ و ۵ میلی‌متر بر دلیل استفاده در آزمایش SCB توصیه می‌شود.

واژه‌های کلیدی: آزمایش خمش نیم دایره‌ای (SCB)، دمای متوسط، شاخص انعطاف‌پذیری، ضریب تغییرات، نشانه مقاومت در برابر ترک خوردگی، نرخ بارگذاری

### ۱- مقدمه

ترک‌های خستگی یکی از خرابی‌های مهم در روسازی است که به لایه‌ی آسفالتی ایجاد می‌گردد و با گذر زمان به سطح روسازی گسترش می‌یابند. این ترک‌ها با ایجاد راهی برای نفوذ رطوبت به دلیل تکرار بارگذاری ناشی از عبور مرور وسایل نقلیه در زیر

Pirmohammad & Kiani, 2016; پایین) Pirmohammad, Majd-Shokorlou, & Amani, 2019; A. Yousefi, Pirmohammad, & Sobhi, 2020; Zofka & Braham, 2009 خستگی در دمای متوسط استفاده می‌شود که امروزه استفاده از این تست در دماهای متوسط جهت ارزیابی خستگی مخلوط‌های آسفالتی توجه بیشتری را به خود جلب کرده است (Al-Qadi et al., 2015; Im, Ban, & Kim, 2014; Wu, Mohammad, Wang, & Mull, 2005; Afshar Yousefi, Behnood, Nowruzi, & Haghshenas, 2021 ایلینویز به منظور بررسی مقاومت مخلوط‌های آسفالتی در دمای متوسط از شاخصی تحت عنوان شاخص انعطاف پذیری ایلینویز<sup>9</sup> (I-FIT) استفاده کردند (Al-Qadi et al., 2015). شاخص انعطاف پذیر در واقع برگرفته از تلفیق تاثیر انرژی شکست و شبیه نقطه عطف نمودار بار جابه‌جایی می‌باشد. مطالعات امروزی نشان می‌دهد که شاخص انرژی شکست به تنها یک شاخص مناسبی برای تشخیص خواص شکست دمای متوسط بین مخلوط‌های آسفالتی نبوده و شاخص FI عملکرد بهتری نسبت به شاخص انرژی شکست داشته و بیشتر مورد استفاده قرار می‌گیرد (Al-Qadi et al., 2015; Kaseer et al., 2018; Ozer et al., 2016) و علاوه بر این، شاخص FI در مقایسه با انرژی شکست نسبت به تغییرات طرح اختلاط مخلوط آسفالتی Ling, Swiertz, Mandal, (2017) حساس‌تر می‌باشد (Teymourpour, & Bahia, 2017). نسنجیوم و همکارانش در سال ۲۰۱۴ با استفاده از روش تجربی-آماری حداقل تعداد نمونه‌های لازم برای ارزیابی پارامترهای مکانیک شکست مخلوط‌های آسفالتی را تعیین کرده و سپس تاثیر هریک از پارامترهای ضخامت نمونه، طول ترک در نمونه، نرخ بارگذاری و دمای آزمایش بر مکانیک شکست مخلوط‌های آسفالتی را ارزیابی کردند و با توجه به ضریب تغییرات حاصل از داده‌های پارامترهای مورد بررسی، موثرترین محدوده‌ی مقادیر هریک از پارامترهای مورد بررسی را پیشنهاد دادند (Nsengiyumva, 2015). سلیمانیان و همکارانش در سال ۲۰۱۹ با بررسی تاثیر دما و نرخ بارگذاری بر پارامترهای مکانیک شکست مخلوط‌های آسفالتی، نظری مقدار نیرو و انرژی لازم برای شکست و شاخص انعطاف پذیری نمونه‌های مخلوط آسفالتی، دمای ۲۵ درجه سانتی‌گراد و نرخ بارگذاری ۵ و ۲۰ میلی متر بر دقیقه را مناسب‌ترین ترکیب برای ارزیابی خستگی مخلوط‌های آسفالتی

داخل روسازی، به طور قابل توجهی دوام و مقاومت روسازی آسفالتی را کاهش داده و باعث ایجاد خرابی‌های دیگر در روسازی می‌گردد. بدین منظور ارزیابی دقیق خواص مکانیک شکست مخلوط آسفالتی و عوامل موثر بر آن برای نزدیک کردن شرایط آزمایشگاهی به شرایط واقعی و محلی از اقدامات موثر در شناخت و بهبود روسازی خواهد بود (Nsengiyumva, You, Kim, & Beran, 2016). برای ارزیابی مکانیک شکست و ترک خوردگی مخلوط‌های آسفالتی از آزمایش مختلفی نظیر آزمایش AASHTO T322 (DCT) مطابق آیین نامه AASHTO T321، آزمایش AASHTO TP105 (SCB) طبق آیین نامه AASHTO D7313 استفاده می‌گردد (Aliha, Bahmani, & Akhondi, 2016; L. Chen, Qian, & Wang, 2015; Molenaar, Scarpas, Liu, & Erkens, 2002; Wagnoner, Buttlar, & Paulino, 2005; A. A. Yousefi, Sobhi, Aliha, Pirmohammad, & Haghshenas, 2021 آزمایش‌های یاد شده، آزمایش SCB تمام ویژگی‌های بیان شده را دارا بوده و یکی از آزمایش‌های رایج در بحث مقاومت شکست مخلوط آسفالتی می‌باشد. برخی از مزایای این آزمایش نسبت به سایر آزمایش‌ها: ۱) آماده سازی آسان نمونه جهت انجام آزمایش X. Chen (2012) تهیه چهار نمونه از یک نمونه متراکم شده می‌باشد (۲) گزارش کردن که آزمایش کشش غیرمستقیم (IDT) و آزمایش تیر خمشی نمی‌توانند به طور کامل مقاومت ترک خوردگی مخلوط‌های آسفالتی را ارزیابی کنند (Liu & Li, 2012). در سال ۲۰۱۶ همکارانش Solaimanian, 2019 گزارش کردن که آزمایش کشش غیرمستقیم (IDT) و آزمایش تیر خمشی نمی‌توانند به طور کامل مقاومت ترک خوردگی مخلوط‌های آسفالتی را ارزیابی کنند (Liu & Li, 2012). در سال ۲۰۱۷ ژوو و همکاران در بین آزمایش‌های مختلفی از آزمایش در نظر گرفتند که عبارت اند از پارامترها در انتخاب نوع آزمایش در نظر گرفتند که عبارت اند از (الف) دسترسی آسان تجهیزات آزمایش، (ب) کمترین ضرایب پخش و ضریب تغییرات نتایج آزمایش، (ج) همبستگی نتایج آزمایشگاهی با نتایج محلی و (د) تفسیر آسان نتایج آزمایش. آزمایش SCB به دلیل سادگی و انجام سریع این تست و نزدیک بودن به شرایط میدانی مورد توجه بسیاری از پژوهشگران قرار گرفته است. این آزمایش اولین بار به منظور مطالعه مقاومت شکست نمونه‌های سنگی مورد استفاده قرار گرفت (Chong & Kuruppu, 1984). از نمونه‌های SCB به منظور ارزیابی مقاومت در برابر ترک خوردگی‌های حرارتی در دماهای

ناحیه‌ی شمالی آمریکا پیشنهاد دادند (X. Chen & Solaimanian, 2019)؛ علی‌رغم تحولات اخیر در زمینه ارزیابی خواص مکانیک شکست مخلوط‌های آسفالتی با استفاده از آزمون SCB و تایید محققان مختلف بر تاثیر شرایط محیطی و ترافیکی، شکل هندسی و پارامترهای دیگر بر مکانیک شکست مخلوط‌های آسفالتی، بیشتر محققان نرخ بارگذاری و دما انجام آزمایش را براساس تجربه و سهولت انجام کار انتخاب می‌نمایند. بنابراین لازم است به ازای هر تغییر در نمونه‌های مورد نظر و شرایط محیطی، شرایط انجام آزمایش ارزیابی و اصلاح گردد. در این تحقیق با در نظر گرفتن مشخصات هندسی نمونه‌های آزمایش SCB تاثیر تغییرات نرخ بارگذاری بر روی پارامترهای مکانیک شکست مخلوط آسفالتی مورد بررسی قرار می‌گیرد. رفتار مخلوط آسفالتی تحت بار به شدت تحت تاثیر میزان نرخ بارگذاری و دما می‌باشد. هدف اولیه این مطالعه بررسی تاثیر نرخ‌های مختلف بارگذاری بر روی پارامترهای متفاوت مکانیک شکست مخلوط آسفالتی در دماه متوسط است. دو هدف دیگر این تحقیق به شرح زیر بیان می‌شوند.

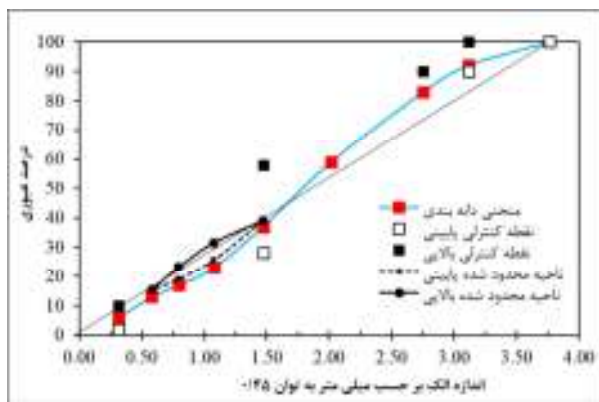
- مقایسه پارامترهای مختلف معرفی شده محققان جهت ارزیابی مقاومت مخلوط آسفالتی در برابر ترک خوردگی در دماه ۲۵ سانتی‌گراد.  
- تعیین نرخ بارگذاری مناسب در دماه متوسط با در نظر گرفتن ضریب تغییرات و پراکندگی داده‌های پارامترهای موردنظر بر روی نمونه‌های SCB مورد مطالعه در این پژوهش است.

جدول ۱. مشخصات قیر مصرفی ۶۰/۷۰

نوع آزمایش	روش استاندارد	نتیجه آزمایش
درجه نفوذ در دماه ۲۵ سانتی‌گراد	ASTM D5	۶۲
نقطه نرمی	ASTM D36	۴۸/۵
شکل‌پذیری در دماه ۲۵ سانتی‌گراد	ASTM D113	۱۳۰
درجه اشتعال	ASTM D92	۲۹۰
چگالی	ASTM D70	۱/۰۱۸

جدول ۲. مشخصات مصالح سنگی

نوع آزمایش	روش استاندارد	نتیجه آزمایش
سایش لس آنجلس (درصد)	ASTM C535	۱۴
وزن مخصوص درشت دانه ( $\text{gr}/\text{cm}^3$ )	ASTM D127	۲/۰۱
وزن مخصوص ریز دانه ( $\text{gr}/\text{cm}^3$ )	ASTM D128	۲/۶۷
درصد شکستگی (در دو جبهه)	ASTM D5821	۹۳
ارزش ماسه ای (درصد)	ASTM C88	۶۷



شکل ۱. دانه‌بندی مصالح سنگی برای ساخت مخلوط آسفالتی

### ۳- ساخت نمونه‌های آسفالتی و نیم دایره‌ای

نظر به مدت ۲ ساعت در دمای اختلاط ( $145^{\circ}\text{C}$ ) قرار گرفت. در این تحقیق به منظور ساخت نمونه‌های SCB ابتدا نمونه‌های به ارتفاع ۱۵ سانتی متر با دستگاه متراکم کننده ژیراتوری سوپرپیو ساخته شد. سپس نمونه‌های استوانه‌ای ساخته شده مطابق شکل ۲ به نمونه‌های دیسکی به ضخامت ۳۰ میلی متر برش داده و هر نمونه دیسکی به دو قسمت نیم دایره نصف می‌شوند که اصطلاحاً به نمونه‌های SCB شناخته می‌شوند. سپس در وسط نمونه‌های SCB به وسیله‌ی یک تیغه با ضخامت حدود  $0.83$  میلی متر، برشی به طول  $18$  میلی متر و ضخامت  $2$  میلی متر ایجاد شد.

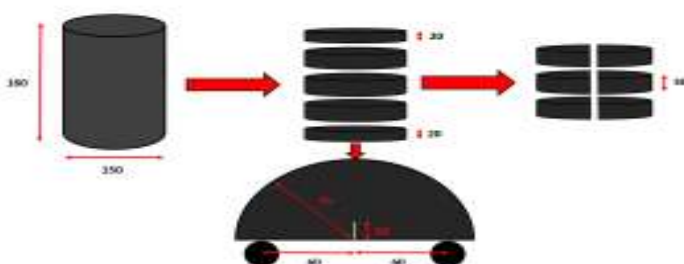
در این پژوهش برای تعیین درصد بهینه مخلوط‌های آسفالتی از روش طرح اختلاط سوپرپیو با سطح ۱ و برای ترافیک سنگین (با تعداد ژیراسیون ۱۲۱ و درصد فضای خالی برابر ۴ درصد مخلوط آسفالتی) استفاده شده است که پارامترهای حجمی برای مخلوط‌های مورد نظر در جدول ۳ آمده است. در این تحقیق برای خشک کردن مصالح، قبل از عمل اختلاط مصالح سنگی به مدت  $16$  ساعت در دمای  $160$  سانتی گراد قرار گرفته و با توجه به ویسکوزیته‌ی قیر مورد نظر، قیر به مدت  $1$  ساعت در دمای  $150$  سانتی گراد نگه داده شد. سپس بعد از اختلاط، مخلوط مورد

جدول ۳. پارامترهای حجمی مخلوط آسفالتی

Mixture description	Va (%)	Pb (%)	VMA (%)	VFB (%)	Gmm (g/cm <sup>3</sup> )	Dust/binder (%)
Virgin aggregates(94.7%) + Bitumen 60/70 (5.3%)	4	5.3	16.33	69.2	2.316	0.88

= درصد هوای خالی در مخلوط آسفالتی، Pb = درصد قیر بهینه، VMA = فضای خالی در سنگدانه معدنی،

= فضای پر شده با قیر، Gmm = فضای پر شده با قیر

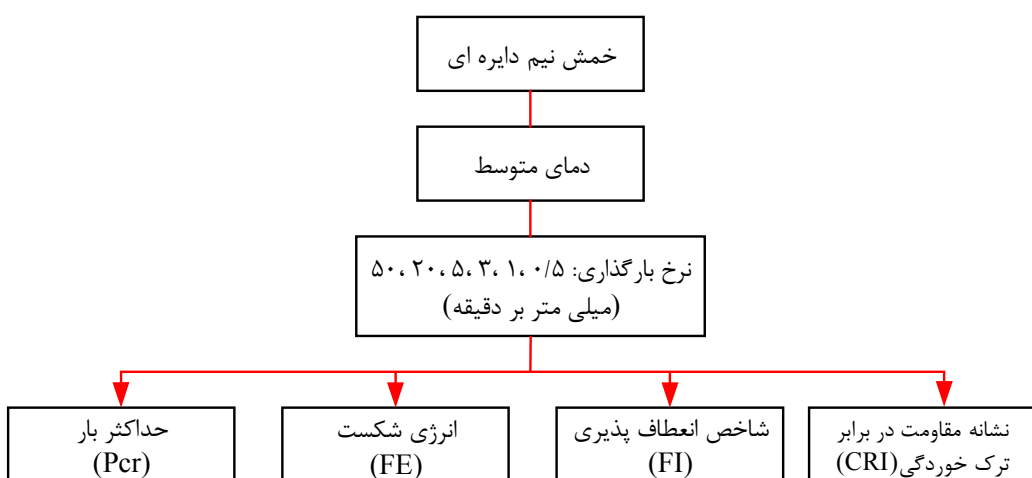


شکل ۲. مراحل آماده سازی نمونه‌های SCB

#### ۴- برنامه‌ی آزمایشگاهی

مدت ۶ ساعت در دمای ۲۵ درجه ی سانتی‌گراد قرار داده شده تا تمام جسم نمونه‌ها از نظر دمایی شرایط یکسانی داشته باشند. مطابق فلوچارت آزمایشگاهی شکل ۳ در نرخ‌های متفاوت پارامترهای مختلف مکانیک شکست عبارت‌اند از پارامترهای حداقل نیروی لازم برای شکست نمونه‌ها (Pcr)، مقدار انرژی لازم برای شکست نمونه‌ها (FE)، نشانه انعطاف پذیری (FI) و نشانه مقاومت در برابر ترک خورده‌گی (CRI) با استفاده منحنی نیرو و جابه‌جایی (شکل ۵) و با استفاده از نرم‌افزار I-FIT طراحی شده توسط دانشگاه ایلینویز محاسبه گردید.

در این تحقیق تاثیر نرخ بارگذاری بر پارامترهای مکانیک شکست مخلوط های آسفالتی در دمای متوسط با استفاده از دستگاه یونیورسال با ظرفیت ۱۵ کیلو نیوتون، بر اساس بارگذاری یکنواخت مود I تحت بارگذارهای استاتیکی با نرخ‌های متغیر ۰/۵، ۱، ۳، ۵، ۲۰ و ۵۰ میلی متر بر دقیقه با در نظر گرفتن ضریب تغییرات مورد مطالعه قرار گرفت. به منظور کاهش میزان خطای آزمایش تحت آزمایش شکست برای هر نرخ بارگذاری هشت نمونه یکسان (با ۸ تکرار) انتخاب گردید که در شکل ۴ نحوه قرارگیری نمونه در زیر دستگاه یونیورسال نشان داده شده است. به منظور مهیا ساختن نمونه‌ها جهت انجام تست، نمونه‌ها را به



شکل ۳. فلوچارت آزمایشگاهی



شکل ۴. نحوه قرارگیری نمونه در زیر دستگاه یونیورسال

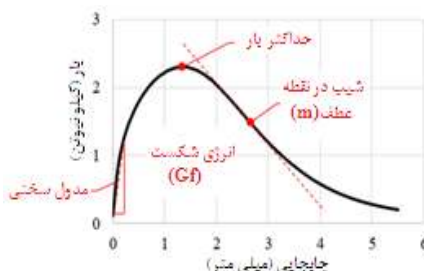
کیلو نیوتون بر میلی متر و  $A$  ضریب تبدیل واحد و ضریب مقایسه گذاری تعریف شده است و در این مطالعه برابر  $0.01$  می باشد.

#### ۴-۴- نشانه‌ی مقاومت در برابر ترک خوردگی (CRI)

در سال ۲۰۱۸، کاسر و همکارانش به منظور ارزیابی مقاومت مخلوط‌های آسفالتی در برابر ترک‌خوردگی در دمای متوسط شاخص  $FI$  را توسعه داده و از یک شاخص جدیدی با عنوان نشانه‌ی مقاومت در برابر ترک‌خوردگی (CRI) استفاده کردند (Kaseer et al., 2018) که در این رابطه بجای شیب در نقطه عطف مقدار  $P_{max}$  جایگذاری شده و طبق رابطه (۳) محاسبه می‌گردد.

$$CRI = \frac{G_f}{P_{max}} \quad (3)$$

که در این رابطه  $G_f$  برابر مقدار کل انرژی لازم برای شکست مخلوط‌های آسفالتی بر حسب ژول بر متر مربع و  $P_{max}$  حداقل نیروی واردہ بر نمونه بر حسب کیلو نیوتون است.



شکل ۵. نتیجه‌ی حاصل از منحنی بار جایگذایی آزمایش SCB (شامل پارامترهای جداکثر بار، شیب در نقطه عطف و انرژی شکستگی)

#### ۵- نتایج و بحث

**۵-۱- تأثیر نرخ‌های مختلف بارگذاری بر جداکثر نیروی لازم برای شکستگی مخلوط‌های آسفالتی**

تأثیر نرخ بارگذاری‌های مختلف بر جداکثر نیروی لازم برای شکست مخلوط‌های آسفالتی در شکل ۶ و جدول ۴ نمایش داده شده است. همان‌طور، که در شکل دیده می‌شود همواره با افزایش میزان نرخ بارگذاری مقدار نیروی لازم برای ترک خوردگی در مخلوط آسفالتی افزایش می‌یابد. به طوری که این افزایش برای نرخ  $50$  میلی‌متر بر دقیقه بیش از  $50$  درصد نسبت به نرخ  $5$  میلی‌متر بر دقیقه است. طبق شکل ۶ و جدول ۴ می‌توان

#### ۱-۴- بار بحرانی (PL)

حداکثر نیروی قابل تحمل نمونه‌های مخلوط آسفالتی قبل از ترک خوردگی، بار بحرانی آن نمونه تعریف می‌شود که با رسیدن بار به این مقدار نمونه شروع به ترک از محل برش می‌گردد.

#### ۲-۴- انرژی لازم برای شکست نمونه‌ها (FE)

مقدار انرژی لازم برای ترک خوردگی (شکست) نمونه‌های مخلوط آسفالتی می‌باشد که در آزمایش SCB به عنوان مقاومت ترک خوردگی مخلوط آسفالتی تعریف می‌شود. در واقع این شاخص نشان دهنده ظرفیت کلی مخلوط آسفالتی برای مقاومت در برابر شکست ناشی از حرارتی در دمای پایین (ترک خوردگی حرارتی) و دمای متوسط (ترک خوردگی ناشی از خستگی) می‌باشد. این شاخص مطابق رابطه (۱) از تقسیم سطح زیر نمودار نیرو-سنجاقه جایی به سطح مقطع ترک خورده بدست می‌آید.

$$G_f = \frac{W_f}{A} = \int (P) du / A \quad (1)$$

که در این رابطه  $G_f$  مقدار کل انرژی لازم برای شکست مخلوط آسفالتی بر حسب ژول بر متر مربع و  $W_f$  مقدار کار لازم برای شکست مخلوط آسفالتی بر حسب ژول و  $A$  سطح مقطع ترک خورده بر حسب مترمربع نمونه آسفالتی است.

#### ۳-۴- نشانه‌ی انعطاف پذیری (FI)

نشانه‌ی انعطاف پذیری پارامتری برای تشخیص مخلوط‌های شکننده است که به ترک‌های زودرس حساس می‌باشند. مطالعات القادی و همکاران نشان داد که انرژی لازم برای شکست نمونه در دمای متوسط به تنها یک شاخص مناسبی برای اندازه‌گیری مقاومت ترک خوردگی نمی‌باشد. بنابراین، این شاخص به منظور ارزیابی مقاومت مخلوط آسفالتی در برابر ترک خوردگی در دمای متوسط برای اولین بار در سال ۲۰۱۶ در دانشگاه ایلینویز آمریکا معرفی و مورد استفاده قرار گرفت (Ozer et al., 2016) که از رابطه (۲) به دست می‌آید.

$$FI = A * \frac{G_f}{|m|} \quad (2)$$

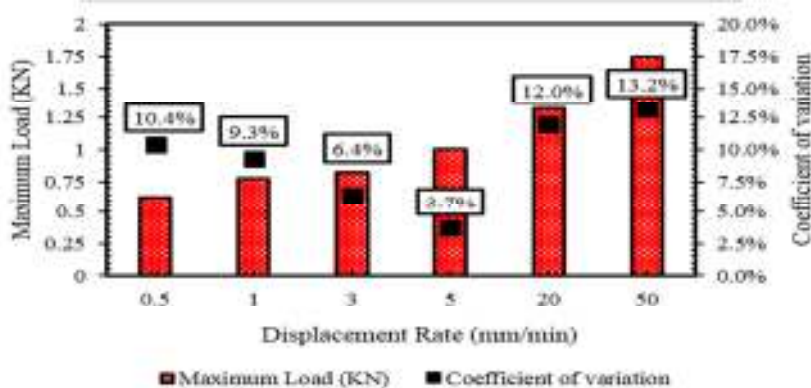
که در این رابطه  $G_f$  برابر مقدار کل انرژی لازم برای شکست مخلوط‌های آسفالتی بر حسب ژول بر متر مربع،  $|m|$  برابر شیب در نقطه‌ی عطف قسمت دوم منحنی نیرو-سنجاقه جایی بر حسب

مقدار را دارد و بیشترین ضریب تغییرات نمونه‌های مورد بررسی مربوط به نرخ بارگذاری ۵۰ میلی‌متر بر دقیقه است.

مشاهده کرد که میزان پراکندگی حداقل نیروی لازم برای گسیختگی نمونه‌های SCB در نرخ ۵ میلی‌متر بر دقیقه برابر ۳/۷ درصد بوده و نسبت به بقیه نرخ‌های بارگذاری انتخابی کمترین

جدول ۶. مقادیر بار بحرانی به دست آمده در نرخ‌های مختلف بارگذاری

نرخ بارگذاری (میلی متر/دقیقه)	میانگین حداقل بار (کیلو نیوتن)	ضریب تغییرات (درصد)
۰/۵	۰/۶۲۵۴	۱۰/۴
۱	۰/۷۷۶۲	۹/۳
۳	۰/۸۲۸۴۵	۷/۴
۵	۱/۰۰۴۳	۳/۷
۲۰	۱/۳۲۸	۱۲
۵۰	۱/۷۴۳۷	۱۳/۲



شکل ۶. تأثیر نرخ‌های مختلف بارگذاری بر میزان حداقل نیروی لازم برای شکستگی مخلوط‌های آسفالتی در دمای ۲۵ سانتی‌گراد

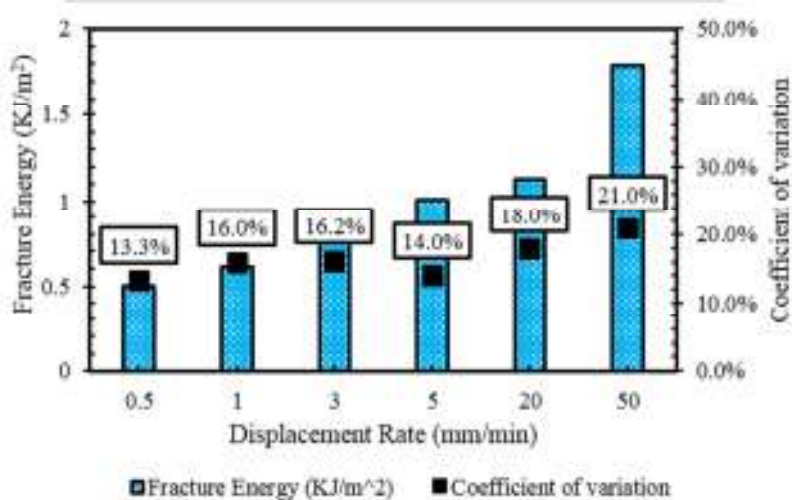
کاهش جابه‌جایی نمونه‌ها را کاهش می‌دهد. بدین ترتیب مقدار انرژی لازم برای شکستن نمونه‌ها با افزایش نرخ بارگذاری همواره افزایش می‌یابد. مطابق شکل ۷ و جدول ۶ می‌توان گفت که با افزایش نرخ بارگذاری همواره انرژی لازم برای شکست نمونه‌های SCB در دمای متوسط افزایش یافته است و به ترتیب در نرخ‌های ۰/۵ و ۵۰ میلی‌متر بر دقیقه حداقل و حداقل انرژی لازم برای شکست نمونه‌های SCB به دست آمده است. با توجه به نمودار مشاهده می‌گردد که با افزایش نرخ بارگذاری میزان ضریب تغییرات و پراکندگی نتایج حاصل از انرژی لازم برای شکستن نمونه‌های SCB افزایش یافته است و تنها در نرخ ۵ میلی‌متر بر دقیقه این روال رعایت نشده است.

## ۵-۲-۵- تأثیر نرخ‌های مختلف بارگذاری بر انرژی لازم برای شکستگی مخلوط‌های آسفالتی

تأثیر نرخ بارگذاری‌های مختلف بر انرژی لازم برای شکستگی مخلوط‌های آسفالتی در شکل ۷ و جدول ۵ آورده شده است. نتایج انرژی لازم برای شکستگی مخلوط آسفالتی روند مشابهی با نتایج حداقل نیروی لازم برای شکستگی دارد به طوری که با توجه به نمودار مشاهده می‌گردد. با افزایش نرخ بارگذاری حداقل نیروی لازم برای شکست نمونه‌های آسفالتی افزایش یافته و از طرفی مقدار جابه‌جایی نمونه‌های آسفالتی با افزایش نرخ بارگذاری کاهش می‌یابد ولی این افزایش بار حداقل نسبت به کاهش جابه‌جایی خیلی بیشتر بوده و تاثیر

جدول ۵. مقادیر انرژی لازم برای شکستگی مخلوط‌های آسفالتی به دست آمده در نرخ‌های مختلف بارگذاری

نرخ بارگذاری (میلی متر / دقیقه)	میانگین انرژی شکست (کیلو نیوتن)	ضریب تغییرات (درصد)
۰/۵	۰/۵۰۲	۱۳/۳
۱	۰/۶۱۲	۱۶
۳	۰/۹۰۶	۱۶/۲
۵	۱/۰۱۰	۱۴
۲۰	۱/۱۲۷	۱۸
۵۰	۱/۷۹۴	۲۱



شکل ۷. تاثیر نرخ‌های مختلف بارگذاری بر میزان انرژی لازم برای شکستگی مخلوط‌ها آسفالتی در دمای ۲۵ سانتی‌گراد

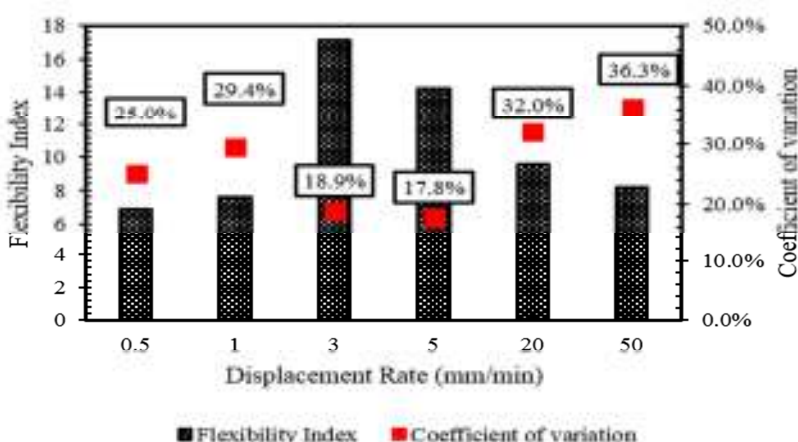
شاهدۀ روند ثابتی در افزایش یا کاهش این شاخص نیستیم. طبق شکل ۸ و جدول ۶ مشاهده می‌شود که بیشترین شاخص انعطاف پذیری در دمای متوسط در نرخ‌های ۳ و ۵ میلی‌متر بر دقیقه بدست آمده است. در این ارزیابی نیز کمترین شاخص پراکندگی و ضریب تغییرات داده‌های مربوط به شاخص انعطاف‌پذیری مربوط به نرخ ۵ میلی‌متر بر دقیقه است.

### ۳-۵- تأثیر نرخ‌های مختلف بارگذاری بر شاخص انعطاف‌پذیری مخلوط‌های آسفالتی

تأثیر نرخ بارگذاری‌های مختلف بر شاخص انعطاف‌پذیری مخلوط‌های آسفالتی در شکل ۸ و جدول ۶ نمایش داده شده است. با توجه به اینکه شاخص انعطاف‌پذیری متاثر از دو پارامتر دیگر ( $m$  و  $Gf$ ) می‌باشد. بنابراین، با افزایش نرخ بارگذاری

جدول ۶. مقادیر شاخص انعطاف پذیری مخلوط‌های آسفالتی به دست آمده در نرخ‌های مختلف بارگذاری

نرخ بارگذاری (میلی متر / دقیقه)	میانگین شاخص انعطاف پذیری	ضریب تغییرات (درصد)
۰/۵	۶/۸۸	۲۵
۱	۷/۵۷	۲۹/۴
۳	۱۷/۱	۱۸/۹
۵	۱۴/۲۳	۱۷/۸
۲۰	۹/۵۵	۳۲
۵۰	۸/۱۹	۳۶/۳



شکل ۸. تأثیر نرخ‌های مختلف بارگذاری بر شاخص انعطاف‌پذیری مخلوط‌های آسفالتی در دمای ۲۵ سانتی‌گراد

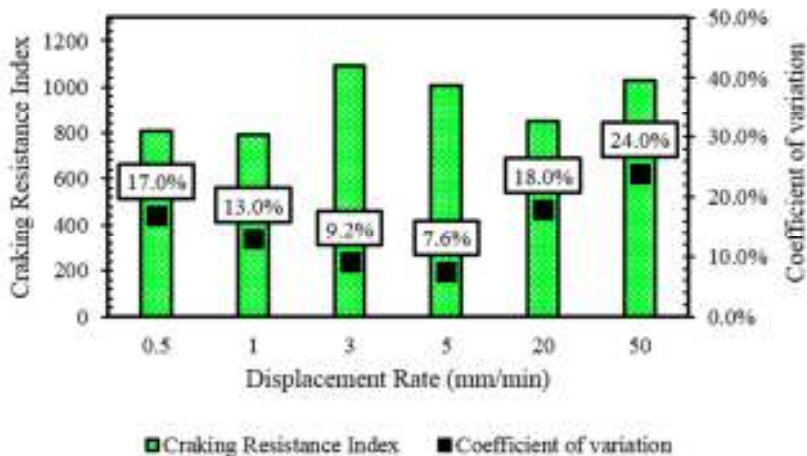
هر نرخ بارگذاری می‌توان گفت که نرخ بارگذاری ۵ و ۵۰ به ترتیب کمترین و بیشترین ضریب تغییرات را به خود اختصاص داده‌اند. با مقایسه شاخص مقاومت در برابر ترک خوردگی و شاخص انعطاف‌پذیری مخلوط آسفالتی مشاهده می‌شود که مقدار CRI نسبت FI ضریب تغییرات کمتری دارد که علت آن شاخص پراکندگی کمتر مقدار  $P_{max}$  نسبت به شبیه نقطه عطف منحنی باشد. بنابراین، می‌توان گفت که شاخص CRI نسبت FI به زمان محاسباتی کمتری نیاز دارد و می‌تواند فرق بین مخلوط‌های آسفالتی با خصوصیات متمایز را بیشتر نشان دهد.

۴-۵- تأثیر نرخ‌های مختلف بارگذاری بر نشانه مقاومت در برابر ترک خوردگی مخلوط‌های آسفالتی

تأثیر نرخ بارگذاری‌های مختلف بر نشانه مقاومت در برابر ترک خوردگی مخلوط‌های آسفالتی در شکل ۹ و جدول ۷ نمایش داده شده است. با توجه به شکل می‌توان گفت که نرخ بارگذاری بر شاخص مقاومت در برابر ترک خوردگی نمونه‌های SCB مخلوط آسفالتی تاثیر داشته است و بیشترین مقدار این پارامتر برای نرخ‌های ۳ و ۵ میلی متر بر دقیقه به دست آمده است و با مقایسه ضریب تغییرات (COV) نتایج به دست آمده برای

جدول ۷. مقادیر نشانه مقاومت در برابر ترک خوردگی مخلوطهای آسفالتی به دست آمده در نرخ‌های مختلف بارگذاری

نرخ بارگذاری (میلی متر / دقیقه)	میانگین نشانه در برابر ترک خوردگی	ضریب تغییرات (درصد)
۰/۵	۸۰۲/۸۱	۱۷
۱	۷۸۹/۷۳	۱۳
۳	۱۰۹۴/۰۳	۹/۲
۵	۱۰۰۵/۹۲	۷/۶
۲۰	۸۴۸/۹۶	۱۸
۵۰	۱۰۲۹/۰۷	۲۴



شکل ۹. تاثیر نرخ‌های مختلف بارگذاری بر نشانه‌ی مقاومت در برابر ترک خوردگی مخلوطهای آسفالتی در دمای در دمای ۲۵ سانتی‌گراد

#### ۵-۵- ضریب تغییرات مربوط به پارامترهای شکست نمونه‌های (CRI ، FI ، FE ، Pcr) SCB

گرفتن میانگین ضریب تغییرات تمامی پارامترهای مورد بحث، مشاهده می‌شود که نرخ بارگذاری ۵ میلی‌متر بر دقیقه و ۵۰ میلی‌متر بر دقیقه به ترتیب کمترین و بیشترین ضریب تغییرات را دارند. بنابراین، توصیه می‌شود. در شرایط مشابه هندسی نمونه‌های SCB ساخته شده در این مطالعه، نرخ ۵ میل‌متر بر در دقیقه در این آزمایش مورد استفاده قرار گیرد.

ضریب تغییرات مربوط به پارامترهای شکست نمونه‌های SCB به طور در جدول ۸ نمایش داده شده است. با توجه به جدول ۸ می‌توان گفت که میزان ضریب تغییرات برای Pcr و FE و FI و CRI به ترتیب در محدوده‌های ۱۲/۲-۳/۷ و ۳/۷-۲۱ و ۱۲/۳-۲۱ درصد و ۱۷/۸-۳۶/۳ درصد و ۷/۶-۲۴ درصد است. کمترین ضریب تغییرات را بین پارامترهای دیگر دارا می‌باشد و پارامترهای FI و CRI طبق رابطه‌شان وابسته به دو پارامتر مستقل دیگر بوده و بیشترین ضریب تغییرات را دارند. با درنظر

جدول ۸ مقدار ضریب تغییرات مربوط به پارامترهای مکانیک شکست (CRI، FI، FE، Pcr)

پارامترها	ضریب تغییرات						
	۰/۵ میلی متر بر دقیقه	۱ میلی متر بر دقیقه	۳ میلی متر بر دقیقه	۵ میلی متر بر دقیقه	۲۰ میلی متر بر دقیقه	۴۰ میلی متر بر دقیقه	۵۰ میلی متر بر دقیقه
Pcr	۱۳/۲	۱۲	۳/۷	۶/۴	۹/۳	۱۰/۴	
FE	۲۱	۱۸	۱۴	۱۶/۲	۱۶	۱۳/۳	
FI	۳۶/۳	۳۲	۱۷/۸	۱۸/۹	۲۹/۴	۲۵	
CRI	۲۴	۱۸	۷/۶	۹/۲	۱۳	۱۷	
Average	۲۳/۶	۲۰	۱۰/۸	۱۲/۷	۱۶/۹	۱۶/۴	

## ۶- نتیجه‌گیری

نسبت FI به زمان محاسباتی کمتری نیاز دارد و می‌تواند فرق بین مخلوط‌های آسفالتی با خصوصیات متمایز را بیشتر نشان دهد. با میانگین‌گیری از ضریب تغییرات مربوط هر یک از پارامترهای مربوط به مکانیک شکست می‌توان گفت برای نمونه‌های با قطر ۱۵ و ضخامت ۳ سانتی‌متر و طول برش حدود ۱۸ میلی‌متر، نرخ بارگذاری ۳ و ۵ میلی‌متر بر دقیقه نسبت به سایر نرخ‌های بارگذاری کمترین پراکندگی داده‌ها را داشته است و نتایج نسبتاً دقیق‌تری دارند.

با توجه به این که شرایط محیطی (دماهی انجام آزمایش) و ضخامت و مشخصات فیزیکی علاوه بر نرخ بارگذاری می‌تواند بر هر یک از پارامترهای مکانیک شکست تاثیرگذار باشد، پیشنهاد می‌گردد که تحقیق مورد نظر در شرایط دمایی مختلف و گونه‌های با شکل هندسی مختلف مورد بررسی قرار گیرد.

## ۷- پی‌نوشت‌ها

1. Semi-Circular Bending
2. Peak Load
3. Fracture Energy
4. Flexibility Index
5. Cracking Resistance Index
6. Coefficient of Variation
7. Indirect Tensile Test
8. Disk-Shaped Compact Tension Test
9. Illinois Flexibility Index Test

به منظور بررسی گسترش ترک و رفتار شکست مخلوط آسفالتی، روش‌های مختلفی از جمله آزمایش خم شده یا چهار نقطه، آزمایش کشش غیر مستقیم و آزمایش خم شدن نیم دایره‌ای پیشنهاد شده‌اند. از میان آزمایش‌های یاد شده آزمایش خم شدن نیم دایره‌ای یکی از آزمایش‌های رایج برای اندازه‌گیری مقاومت شکست مخلوط آسفالتی در برابر ترک خودگی می‌باشد. در این پژوهش به منظور ارزیابی تاثیر نرخ‌های بارگذاری بر پارامترهای مکانیک شکست مخلوط‌ها آسفالتی در دمای متوسط نمونه‌های نیم دیسکی به ازای نرخ‌ها مختلف بارگذاری (۰/۵، ۱، ۳، ۵، ۲۰ میلی‌متر بر دقیقه) تحت بارگذاری استاتیکی قرار گرفته است. نتایج بدست آمده از آزمایش‌ها به شرح زیر می‌باشد.

- نرخ‌های بارگذاری مختلف اثر قابل توجهی بر پارامترهای مکانیک شکست مخلوط‌های آسفالتی دارند.

- با افزایش نرخ بارگذاری، مقدار  $P_{cr}$  و مقدار FE برای گسیختگی نمونه‌های مخلوط آسفالتی افزایش می‌یابد.

- شاخص FI و CRI به ترتیب متاثر از پارامترهای مختلف  $m$  و  $Gf$  و پارامتر  $Gf$  و  $P_{max}$  می‌باشد، بنابراین، با افزایش نرخ بارگذاری شاهده روند ثابتی در این دو شاخص نیستیم.

- شاخص FI و FE نسبت به پارامترهای دیگر میزان ضریب تغییرات (COV) بزرگتری دارند و نسبت به نرخ بارگذاری حساس هستند.

- شاخص CRI نسبت FI ضریب تغییرات کمتری دارد که علت آن شاخص پراکندگی کمتر مقدار  $P_{max}$  نسبت به شبیه نقطه عطف منحنی می‌باشد. بنابراین، می‌توان گفت که شاخص CRI

- مراجع

- Liu, D., & Li, L. h., (2012), "Research on evaluating index of anti-cracking performance of asphalt mixture", Journal of Building Materials, 4.
- Molenaar, A., Scarpas, A., Liu, X., & Erkens, S., (2002), "Semi-circular bending test; simple but useful?" Journal of the Association of Asphalt Paving Technologists, 71.
- Nsengiyumva, G., (2015), "Development of semi-circular bending (SCB) fracture test for bituminous mixtures".
- Nsengiyumva, G., You, T., Kim, Y. R., & Beran, M., (2016), "Investigation of testing variables of semicircular bending test for asphalt concrete mixtures: experimental-statistical approach", Retrieved from.
- Ozer, H., Al-Qadi, I. L., Singhvi, P., Khan, T., Rivera-Perez, J., & El-Khatib, A., (2016), "Fracture characterization of asphalt mixtures with high recycled content using Illinois semicircular bending test method and flexibility index", Transportation Research Record, 2575(1), pp.130-137.
- Pirmohammad, S., & Kiani, A., (2016), "Study on fracture behavior of HMA mixtures under mixed mode I/III loading. Engineering Fracture Mechanics", 153, pp.80-90. doi:10.1016/j.engfracmech.2015.12.027.
- Pirmohammad, S., Majd-Shokorlou, Y., & Amani, B., (2019), "Experimental investigation of fracture properties of asphalt mixtures modified with Nano Fe<sub>2</sub>O<sub>3</sub> and carbon nanotubes", Road Materials and Pavement Design, pp.1-23. doi:10.1080/14680629.2019.1608289.
- Wagnoner, M., Buttler, W. G., & Paulino, G., (2005), "Disk-shaped compact tension test for asphalt concrete fracture", Experimental Mechanics, 45(3), pp.270-277.
- Al-Qadi, I. L., Ozer, H., Lambros, J., El Khatib, A., Singhvi, P., Khan, T., . . . Doll, B., (2015), "Testing protocols to ensure performance of high asphalt binder replacement mixes using RAP and RAS (0197-9191)", Retrieved from.
- Aliha, M., Bahmani, A., & Akhondi, S., (2016), "A novel test specimen for investigating the mixed mode I+ III fracture toughness of hot mix asphalt composites—Experimental and theoretical study", International Journal of Solids and Structures, 90, pp.167-177.
- Chen, L., Qian, Z., & Wang, J., (2015), "Multiscale numerical modeling of steel bridge deck pavements considering vehicle–pavement interaction", International Journal of Geomechanics, 16(1), B4015002.
- Chen, X., & Solaimanian, M., (2019), "Effect of Test Temperature and Displacement Rate on Semicircular Bend Test", Journal of materials in civil engineering, 31(7), 04019104.
- Chong, K., & Kuruppu, M., (1984), "New specimen for fracture toughness determination for rock and other materials", International Journal of Fracture, 26(2), R59-R62.
- Im, S., Ban, H., & Kim, Y. R., (2014), "Characterization of mode-I and mode-II fracture properties of fine aggregate matrix using a semicircular specimen geometry", Construction and Building Materials, 52, pp.413-421.
- Kaseer, F., Yin, F., Arámbula-Mercado, E., Martin, A. E., Daniel, J. S., & Salari, S., (2018), "Development of an index to evaluate the cracking potential of asphalt mixtures using the semi-circular bending test", Construction and Building Materials, 167, pp.286-298.
- Ling, C., Swiertz, D., Mandal, T., Teymourpour, P., & Bahia, H., (2017), "Sensitivity of the Illinois flexibility index test to mixture design factors", Transportation Research Record, 2631(1), pp.153-159.

- Pavement", Journal of Stress Analysis, 5(1), pp.85-98. doi:10.22084/jrstan.2020.22325.1153.
- Yousefi, A. A., Sobhi, S., Aliha, M. R. M., Pirmohammad, S., & Haghshenas, H. F., (2021), "Cracking Properties of Warm Mix Asphalts Containing Reclaimed Asphalt Pavement and Recycling Agents under Different Loading Modes", Construction and Building Materials, 300, 124130.  
doi:<https://doi.org/10.1016/j.conbuildmat.2021.124130>.
- Zofka, A., & Braham, A., (2009), "Comparison of low-temperature field performance and laboratory testing of 10 test sections in the Midwestern United States", Transportation Research Record, 2127(1), pp.107-114.
- Wu, Z., Mohammad, L. N., Wang, L., & Mull, M. A., (2005), "Fracture resistance characterization of superpave mixtures using the semi-circular bending test", Journal of ASTM International, 2(3), pp.1-15.
- Yousefi, A., Behnood, A., Nowruzi, A., & Haghshenas, H., (2021), "Performance evaluation of asphalt mixtures containing warm mix asphalt (WMA) additives and reclaimed asphalt pavement (RAP)", Construction and Building Materials, 268, 121200.  
doi:<https://doi.org/10.1016/j.conbuildmat.2020.121200>.
- Yousefi, A., Pirmohammad, S., & Sobhi, S., (2020), "Fracture Toughness of Warm Mix Asphalts Containing Reclaimed Asphalt

# Evaluation of The Effect of Loading Rate of Semi-circular Bending Test on Different Fracture Mechanical Parameters of Asphalt Mixtures at Intermediate Temperature

*Afshar A. Yousefi, M.Sc., Grad., Iran University of Science and Technology, Tehran, Iran.*

*Ata Nowruzi, M.Sc., Grad., Iran University of Science and Technology, Tehran, Iran.*

*Yashar A. Yousefi, B.Sc., Grad., Department of Civil Engineering, Payame Noor, University Ardabil, Iran.*

*Saeid Sobhi, M.Sc., Grad., Babol Noshirvani University of Technology, Babol, Iran.*

*E-mail: afshar\_yusefi@civileng.iust.ac.ir*

Received: August 2021-Accepted: February 2022

## ABSTRACT

Asphalt pavement cracking is one of the most common pavement failures that can be caused by fatigue and aging of asphalt mixtures under environmental conditions and traffic loads, causing other damage to asphalt pavements. For this reason, investigation of fracture behavior and precise evaluation of mechanical fracture parameters of asphalt mixtures and its effective parameters can assist pavement engineers in designing and constructing high-quality pavements. In this study, semi-circular bending specimens (SCB) were used to evaluate the impact of experimental loading rates on different fracture mechanics parameters of asphalt mixtures at intermediate temperatures (25° C). The main objective of this study was to determine the most appropriate loading rate for SCB testing at an intermediate temperature, taking into account the coefficient of variation of the test and with specimens with geometrical characteristics of diameter and thickness, 15 and 3 cm and crack length equal to 18 mm. For this purpose, SCB samples were subjected to loading rates of 0.5, 1, 3, 5, 20, and 50 mm / min and Peak Load parameters for cracking of asphalt samples (PL), Fracture Energy of asphalt samples (FE), Flexibility Index (FI) and Cracking Resistance Index (CRI) were evaluated. The results showed that as the loading rate increased, the amount of PL and FE for the asphalt mix increased, but FI and CRI did not show a significant increase with the loading rate. Based on the results of the experiments and evaluation of the coefficient of variation (COV) of the parameters mentioned, loading rates of 3 and 5 mm / min are recommended for use in the SCB test.

**Keywords:** Semi-circular Bending Test (SCB), Intermediate Temperature, Flexibility Index (FI), Coefficient of Variation (COV), Cracking Resistance Index (CRI), Loading Rate